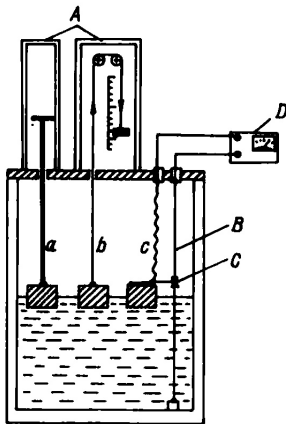


# Tepelné izolace a hladinoměry kryokapalin

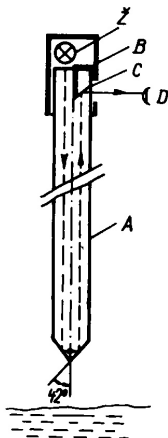
- Různé typy hladinoměrů pro kryokapaliny
- Doplňování kryokapalin
- Dewarova nádoba
- Přenos tepla vedením, zářením,...
- Tepelné izolace - vakuová, superizolace, pěnová,....

# Plovákové hladinoměry



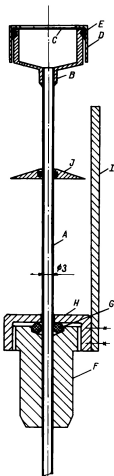
Obr. 55. Plovákové hladinoměry:  
a – tyčinkový, b – s vláknovým převodem,  
c – s elektrickým vyhodnocováním

# Optické hladinoměry

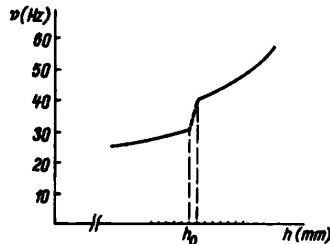


Obr. 56. Optický hladinoměr

# Termoakustický hladinoměr

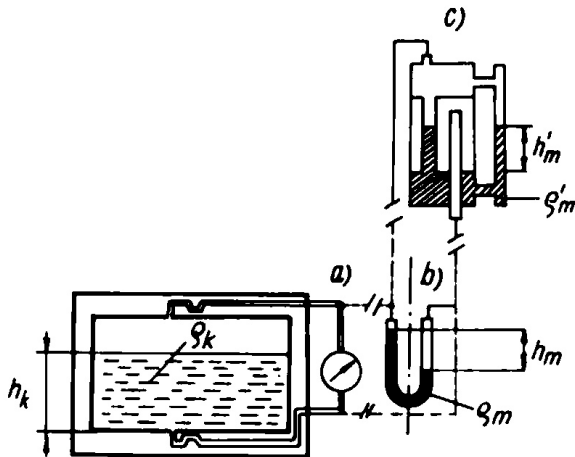


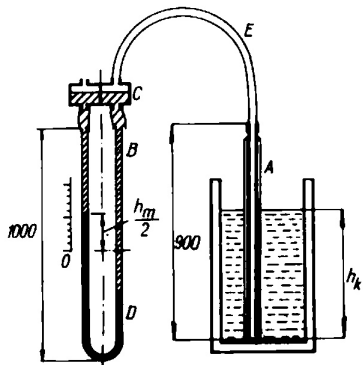
Obr. 57. Termoakustický hladinoměr



Obr. 58. Frekvence termoakustických kmitů v závislosti na vzdálenosti  $h$  od dna nádoby s LHe ( $h_0$  výška hladiny)

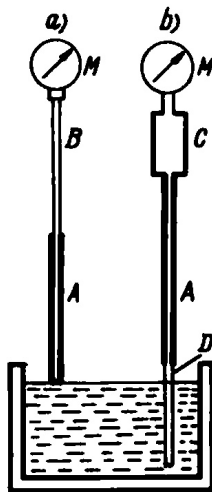
# Hladinoměry založené na měření tlaku





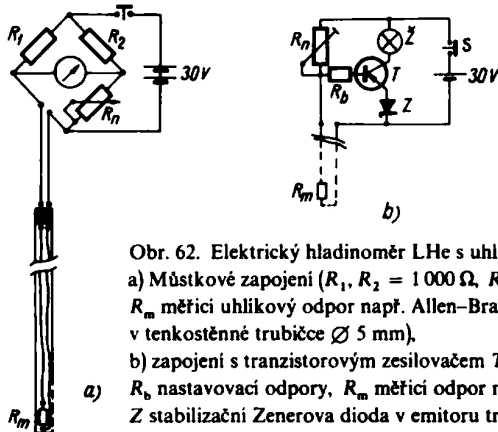
Obr. 60. Hladinoměr  $\text{LN}_2$  pro měření v nádobách s přímým hrdelem [A tepelně vodivá trubice s izolačním pouzdrem, B diferenciální tlakoměr, C dvoukomorový zásobník lehké kapaliny (voda) s relativně velkým průřezem komor, D těžší kapalina (obarvený dichlormethan), E spojovací hadička.  $h_k$  výška sloupce  $\text{LN}_2$ ,  $h_m/2$  měřený údaj; v případě uvedených kapalin je  $h_m = 2,4 h_k$ ]

# Kondenzační hladinoměry



Obr. 61. Hladinoměry využívající kondenzaci par kapaliny:  
a) Hladinoměr indikující dotyk s hladinou poklesem hodnoty tlaku na manometru,  
b) hladinoměr pro kontinuální měření výšky sloupce kryokapaliny

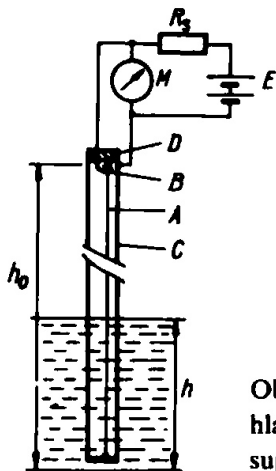
# Elektrické odporové hladinoměry



Obr. 62. Elektrický hladinoměr LHe s uhlikovým odporem:

- Můstkové zapojení ( $R_1, R_2 = 1\,000\,\Omega$ ,  $R_n$  nastavovací odpor  $> 1\,000\,\Omega$ ,  $R_m$  měřící uhlikový odpor např. Allen–Bradley  $50\,\Omega/250\text{ mW}$  umístěný v tenkostěnné trubici  $\varnothing 5\text{ mm}$ ).
- zapojení s tranzistorovým zesilovačem  $T$  a indikační žárovkou  $\checkmark$  ( $R_n$ ,  $R_b$  nastavovací odpory,  $R_m$  měřící odpor např. Allen–Bradley  $50\,\Omega$ ,  $Z$  stabilizační Zenerova dioda v emitoru tranzistoru  $T$ ,  $S$  spinaci tlačítko)

# Supravodivý hladinoměr



Obr. 63. Kontinuální  
hlininoměr LHe se  
supravodivým vláknem

# Kapacitní hladinoměr

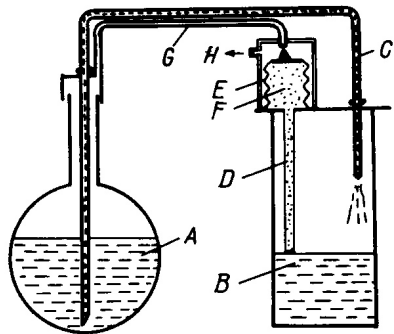
válcový kondenzátor

Kapalina	bod varu [K]	$\varepsilon_r$
$L^4He$	4.21	1.0492
$LH_2$	20.38	1.230
$LNe$	27.10	1.187
$LN_2$	77.35	1.431
$LO_2$	90.19	1.484

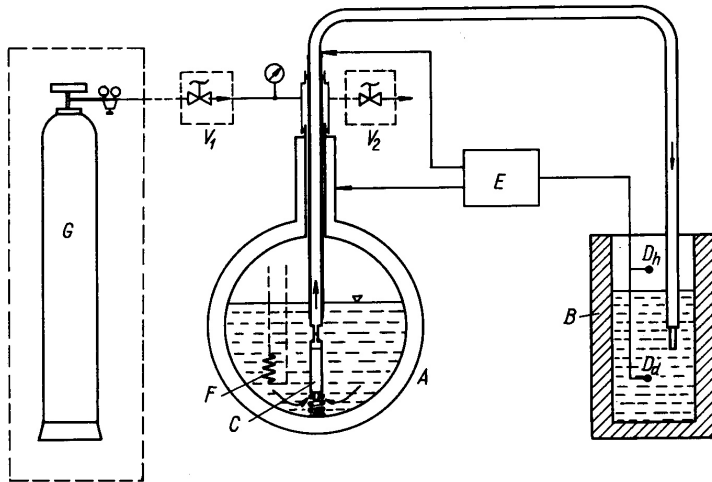
## Další typy hladinoměrů

- ultrazvuk
- optický absorpční
- radar
- vážení

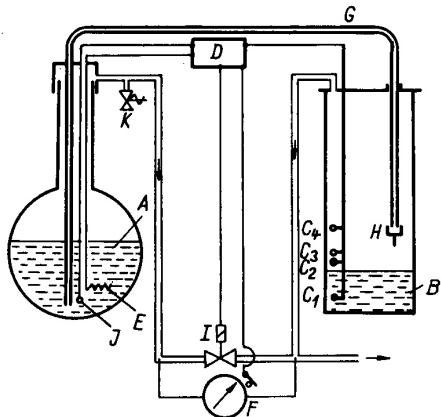
# Automatické doplňování kryokapalin



Obr. 64. Automatické zařízení pro doplňování  $\text{LN}_2$  s vlnovcovým ventilem



Obr. 65. Automatický regulátor hladiny  $\text{LN}_2$  s miniaturním ponorným elektromagnetickým kryoventilem



Obr. 66. Automatické zařízení pro udržování hladiny LHe v požadovaném rozmezí

# Tepelné izolace

- přenos tepla zářením
- přenos tepla konvekcí (proudění plynu)
- přenos tepla zbytkovým plynem
- vedení tepla pevnými látkami

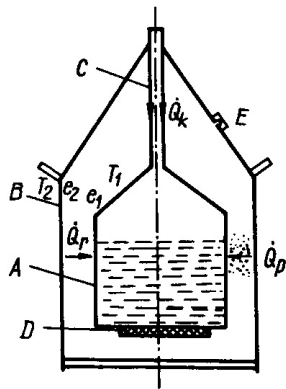
Pro mili- a mikro-kelvinovou oblast - mechanické a kustické kmity, vřivé proudy, elektromagnetické záření,...

př. špendlík z výšky 3 mm na 100 g Cu blok o teplotě  $10^{-6} K$  způsobí vzrůst teploty na  $10^{-2} K$

# Odpar kryokapalin

Kapalina	bod varu [K]	odpar [ $cm^3 h^{-1}$ ] příkonem 1 mW
$L^3He$	3.19	7.2
$L^4He$	4.21	1.40
$LH_2$	20.38	$1.15 \times 10^{-2}$
$LN_e$	27.10	$3.46 \times 10^{-2}$
$LN_2$	77.35	$2.26 \times 10^{-2}$
$LO_2$	90.19	$1.48 \times 10^{-2}$

# Dewarova nádoba na LN<sub>2</sub>



Obr. 67. Jednoduchá  
Dewarova nádoba pro  
přechovávání LN<sub>2</sub>

# Přenos tepla zářením

černé těleso - šedé těleso - záření v široké frekvenční oblasti  
Wienův zákon:

$$\lambda_m = \frac{2898}{T} \quad [\mu m, K]$$

Stefan-Boltzmanův zákon:

$$q = \sigma T^4 \quad [W/m^2]$$

dvě plochy s různou teplotou:

$$Q_{21} = \sigma E_{21} A_{21} (T_2^4 - T_1^4) \quad [W]$$

$$A_{21} \approx A_1 ; \quad E_{21} = \frac{e_1 e_2}{e_2 + (1 - e_2)e_1}$$

$e_1, e_2$  - emisivity povrchů s teplotou  $T_1$  a  $T_2$

# Záření černého tělesa

T[K]	$T^4[K^4]$	$q[Wm^{-2}]$	$\lambda_m[\mu m]$
300	$8.1 \times 10^9$	460	9.66
77	$3.51 \times 10^7$	1.99	37.6
20	$1.60 \times 10^5$	$9.1 \times 10^{-3}$	144.9
4	$2.56 \times 10^2$	$1.45 \times 10^{-5}$	724.5
1	1	$5.67 \times 10^{-8}$	2898
0.1	$1 \times 10^{-4}$	$5.67 \times 10^{-12}$	28980

# Součinitel poměrné pohltivosti

Látka	$T[K]$	a
Al elektrolyticky leštěný	300	0.03
	76	0.018
	4	0.011
Al s vrstvou oxidů $1\mu m$	300	0.30
Ag	76	0.01
Au	76	0.01
Cu oxidovaný	300	0.78
Cu leštěná	300	0.03
Sn	76	0.013
Ni leštěný	75	0.016
nerez	76	0.048
sklo	293	0.94

tloušťka vrstvy alespoň 1% z  $\lambda_m$

# Snížení radiačního tepelného toku pomocnými mezistěnami

n- tepelně izolovaných mezistěn

$$Q = \frac{\sigma E_{21} A_1 (T_2^4 - T_1^4)}{n + 1}$$

reálně 2-3 krát větší tepelný tok  
je to princip mnohovrstevné izolace

Příklad:

$$e_1 = e_2 \ll 1, \quad E_{21} = \frac{e}{2}, \quad T_2 \gg T_1$$

$$Q = \sigma A_1 T_2^4 \frac{e}{2}$$

$$T_2 = 300K, \quad T_1 = 4.2K, \quad e = 0.04, \quad A_1 = 1m^2 \Rightarrow Q = 9W$$

to je odpar asi  $12 \text{ lh}^{-1} \text{ LHe}$

$$T_2 = 77K \Rightarrow Q = 39 \text{ mW}$$

to je odpar asi  $52 \text{ cm}^3 \text{ h}^{-1}$

# Vedení tepla konvekcí - prouděním plynu

$$Q = C \varrho^{1/2} (T_2 - T_1)^{5/4}$$

$\varrho$  je hustota, C je konstanta  
zabránit konvekci můžeme:

- rozdelení prostoru na malé komůrky
- snížením tlaku pod 10 Pa

# Vedení tepla zbytkovým plynem

pro vzduch při atm. tlaku:

$$Q = \frac{\lambda A_1}{d} (T_2 - T_1)$$

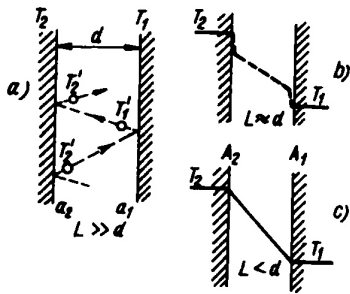
pro molekulární proudění a souosé válcové plochy:

$$Q = \left( \frac{R}{8\pi} \right)^{1/2} \frac{\gamma + 1}{\gamma - 1} a_c \frac{T_2 - T_1}{(MT)^{1/2}} p A_1$$

kde  $\gamma = \frac{c_p}{c_v}$ ,  $a_c$  je koeficient akomodace

$$a_c = \frac{a_1 a_2}{a_2 + a_1 (1 - a_2) \frac{A_2}{A_1}}$$

$$a_1 = \frac{T_2' - T_1'}{T_2' - T_1}, \quad a_2 = \frac{T_2' - T_1'}{T_2 - T_1'}$$



Obr. 72. Vedení tepla zbytkovým plynem:  
 a)  $L \gg d$ , molekuly plynu mají po srážce se stěnami  $A_1$  a  $A_2$  energie odpovídající teplotám  $T'_1$  a  $T'_2$ .  
 b)  $L \approx d$ , závislost teploty plynu mezi oběma stěnami schématicky znázorňuje náčrt,  
 c)  $L < d$ , průběh teploty mezi stěnami je přibližně lineární

## **Akomodační koeficient** - orientační hodnoty

Teplota [K]	He	H <sub>2</sub>	vzduch
300	0.3	0.3	0.8-0.9
77	0.4	0.5	1
20	0.6	1	1
4	1	1	1

# Vedení tepla pevnými látkami

$$Q = \frac{\lambda A(T_2 - T_1)}{d} \quad [W]$$

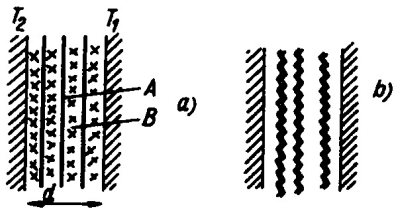
n-vrstev různých materiálů

$$Q = \frac{A(T_2 - T_1)}{\sum_{i=1}^n R_i}, \quad R_i = \frac{d_i}{\lambda_i}$$

# Vakuová izolace

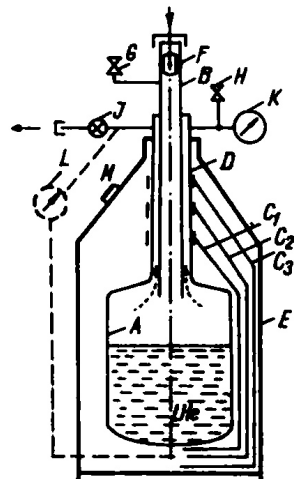
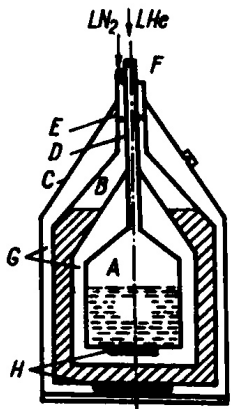
- typický příklad Dewarova nádoba
- tlak asi  $10^{-3}$  Pa
- materiál tvrdé sklo, nerez,...
- Ag - kvůli radiaci
- difuze He přes sklo
- kombinace vakua a jiných druhů izolace

# Mnohovrstevná izolace - superizolace



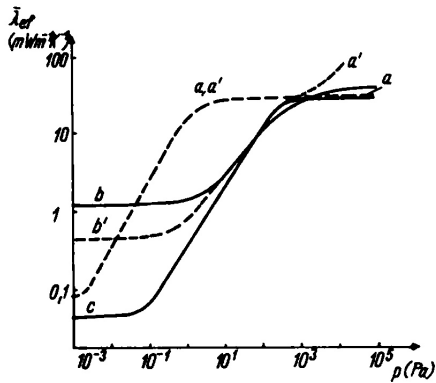
Obr. 75. Příklady dvou typů mnohovrstevné izolace (superizolace):  
a) **A** hliníková fólie, **B** skelná tkanina,  
b) fólie z plastické hmoty (např. z mylaru)  
jednostranně pokovená Al

# Dewarova nádoba na LHe



# Prášková izolace

- jemný prášek z tepelně nevodivého materiálu
- snížení tlaku
- nesmí se mechanicky stlačit
- perlit, silikagel, ...



Obr. 74. Závislosti efektivní tepelné vodivosti  $\lambda_{ef}$  na tlaku  $p$  zbytkových plynů pro různé typy prakticky užívaných izolací:

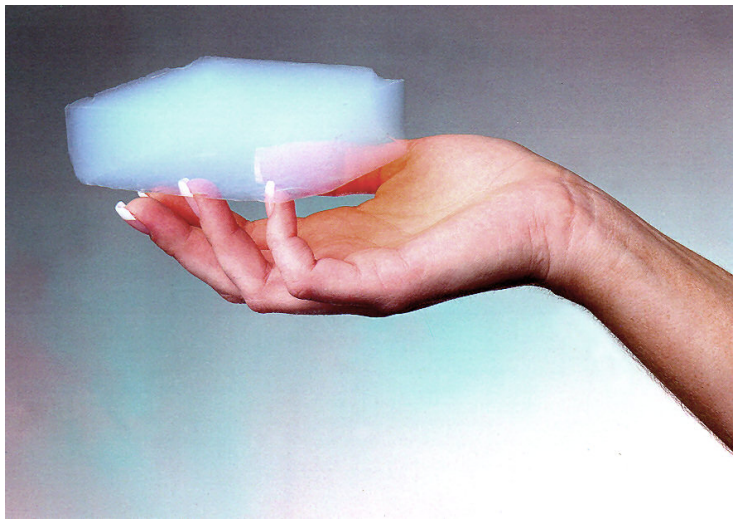
- a) Idealizovaný případ vakuové izolace ( $d = 1$  cm), kde nemůže vznikat konvekce.
- a') vakuová izolace ( $d = 1$  cm) s možností vzniku konvekce při tlaku  $p > 10$  Pa,
- b) vakuoprášková izolace,
- b') vakuoprášková izolace s příměsí kovových vloček,
- c) mnohovrstvá izolace (superizolace)

# Pěnová izolace

- malé uzavřené, nebo otevřené komůrky
- polystyren, polyuretan, epoxid, sklo,...
- malá hustota
- vakuum
- polystyren 4l LN<sub>2</sub>, síla stěny 3 cm, odpaření asi za 14 h
- raketová technika - STS 107, start 16.1.2003, 1.2.2003 Columbia, 60x38x7.5 cm, rychlosť 185-255 m/s

# Aerogel

- Si, C, Al<sub>2</sub>O<sub>3</sub>, ...
- póry 30 nm
- nižší tepelná vodivost než vzduch
- hustota asi 1900 g/m<sup>3</sup>
- nejmenší hustota 2013 aerographene 160 g/m<sup>3</sup>, vzduch 1200 g/m<sup>3</sup>
- využití: tepelná izolace - raketová technika, vesmírné sondy, oblečení, budovy,...; absorpční materiál; léčiva- je biokompatibilní;...



17



Látka	$[Wm^{-1}K^{-1}]$
graphene	4840
c-BN	740
Ag	429
Cu	401
Au	318
Ni	90.9
korund	30
nerez	18
a-BN	3
sklo	0.8-1.4
polyethylen HDPE	0.5
plexisklo	0.2
korek	0.04-0.07
papír	0.05
polystyren	0.033
aerogel	0.03 - 0.004
vzduch	0.026

## LN<sub>2</sub>

Typ	objem [l]	odpar [%/den]	materiál
IKL32	31.5	1.8	Al + nerez
Bo 50	50	3.5	nerez
EC 75	75	1.25	nerez
T600	632	1	nerez

## He

Typ	objem [l]	stínění	odpar He [%/den]	materiál
He50	50	LN2	3.5	nerez
STG40	40	LN2	1	nerez
STG100	100	S	1.5	nerez
LHe	500	S	0.75	nerez